

# ASPECTE TEHNICO ECONOMICE PRIVIND PRELUCRAREA REPERULUI DORN CONTROL PE MASINI CNC

Student: **Constantin Robert Florin**  
Conducator Stiintific Conf. Univ. Dr. Ing. **Doru BARDAC**

**Rezumat:** Lucrarea prezinta o analiza tehnico-economica a posibilitatilor de fabricare a reperului de tip arbore pe trei tipuri de strunguri. In lucrarea sunt analizate principalele caracteristici ale masinilor, dispozitivelor si sculelor, in vederea cresterii productivitatii care sa duca la o eficientizare a fabricatiei pieselor de tip arbore in conditiile impuse.

**Cuvinte cheie:** strunguri CNC, centru de prelucrat vertical, scule, timp de lucru, cost, productivitate.

## 1. INTRODUCERE

In cazul piesei analizate , "Dorn de control" este o piesa de tip arbore care pe langa prelucrari ale suprafetelor exterioare, necesita si prelucrari ale celor interioare. Prelucrarea acestui reper se va analiza in urmatoarele trei cazuri:  
I. Strung CNC Haas ST-10;  
II. Strung CNC Okuma L300-M;  
III. Strung CNC Nakamura-Tome WT-300.

## 2. DORN DE CONTROL

Pentru analiza tehnico economica a fost data piesa dorn de control, piesa de tip arbore de dimensiuni medii (Fig.1)

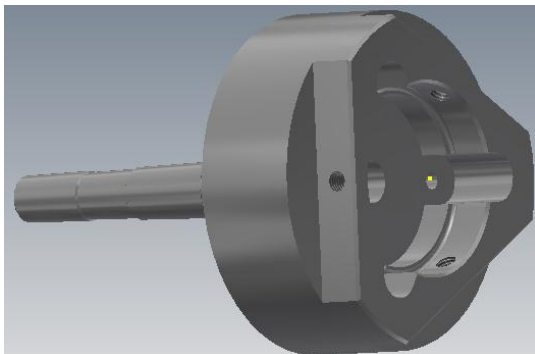


Fig.1 Dorn de control

## 3. PRELUCRAREA PIESELOR DE TIP ARBORE PE STRUNGURI CNC .

In acest capitol se vor prezenta specificatiile strungurilor comparate.

In figura 1 este prezentat strungul normal CNC Haas ST-10.



Fig.2 Haas ST-10



Figura 3. Prelucrare piesa "Dorn de control"

In ciuda suprafetei pe care o ocupa, strungul Haas ST-10 este extrem de rigid, ofera o precizie foarte buna a suprafetelor si este foarte stabil termic.

Caracteristicile strungului ST-10 sunt prezentate in tabelul 1 :

Tabelul 1. Caracteristici

<i>Dimensiunea mandrinei</i>	165 [mm]
<i>Deplasarea pe X</i>	200 [mm]
<i>Deplasarea pe Z</i>	356 [mm]
<i>Turatia maxima ax</i>	1300 [rpm]
<i>Viteza maxima</i>	6000 [rpm]
<i>Avans axa X</i>	30.5[m/min]
<i>Avans axa Z</i>	30.5[m/min]
<i>Capacitatea de stocare a sculelor</i>	12 [scule]

In figura 4 este prezentat strungul OKUMA Genos L300-M.



Fig. 4 OKUMA Genos L300-M

Construcția sa unibloc (fig.5), avand o baza de otel, ii ofera stabilitate, rigiditate si o buna precizie pentru o gama larga de aplicatii. Accesibilitatea intalneste flexibilitatea.

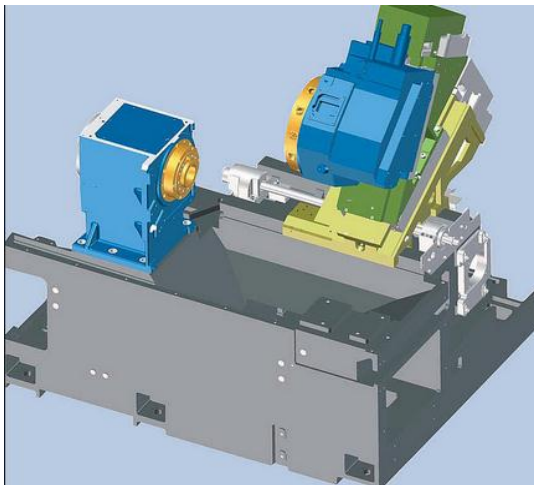


Fig. 5 Constructia unibloc OKUMA L300-M

Caracteristicile strungului OKUMA Genos L300-M sunt prezentate in tabelul 2 :

Tabelul 2. Caracteristici

<i>Dimensiunea mandrinei</i>	300 [mm]
<i>Deplasarea pe X</i>	200 [mm]
<i>Deplasarea pe Z</i>	520 [mm]
<i>Deplasarea pe Y</i>	150 [mm]
<i>Lungimea maxima de lucru</i>	450 [mm]
<i>Viteza maxima ax</i>	5000 [rpm]
<i>Capacitatea de stocare a sculelor</i>	12 [scule]

In figura 6 este prezentat strungul NAKAMURA-TOME WT-300.



Fig. 6 WT-300

De mare viteza, cu o constructie compacta, centrul WT-300 ofera o mare rigiditate si posibilitatea unui multi-tasking datorita celor doua turele.



Fig.7 Sistemul 2S al strungului WT-300

Caracteristicile strungului WT-300 sunt prezentate in tabelul 3 :

Tabelul 3. Caracteristici

Diametrul maxim de prelucrat	270 [mm]
Lungimea maxima	780 [mm]
Turatia	4500 [rpm]
Distanta intre arbori	1100 [mm]
	250 [mm]
Putere motor arbore	25HP
Controler folosit	Fanuc 18i TB CNC

### 3.1. Tipuri de turele

In toate cele trei situatii mentionate mai sus, turele sunt automate, comandate de catre calculator.

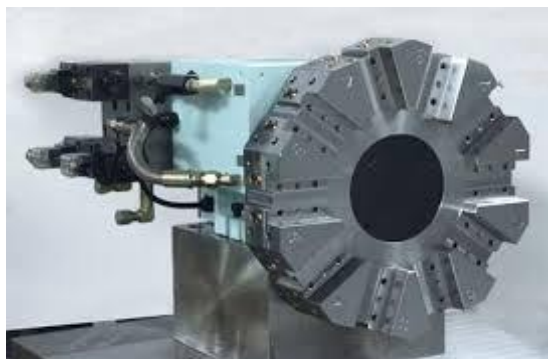
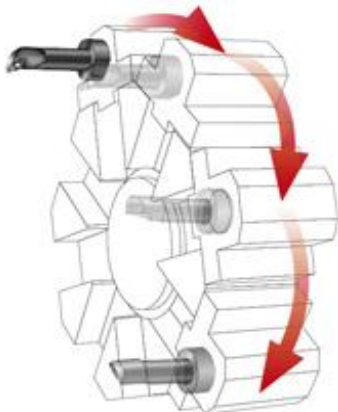


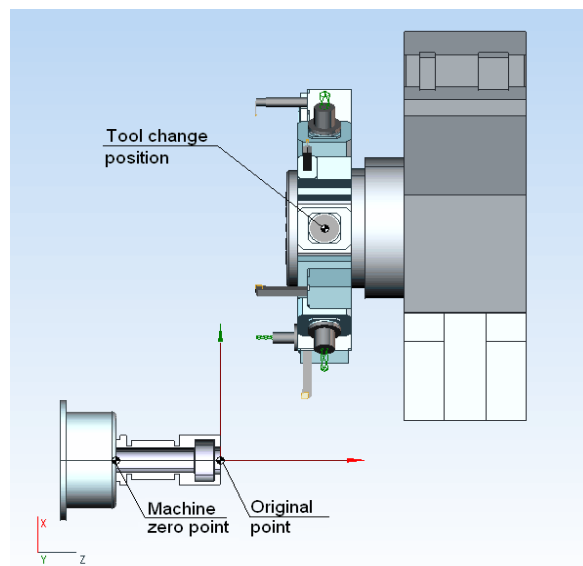
Fig.8 Turela

Turela strungului Haas ST-10, cat si a strungului Genos L300-M, au o capacitate de 12 scule.



Trecere de la o scula la alta se face intr-un interval de 0.2 secunde,

acuratetea prezentandu-se foarte buna, ea fiind de 0.003 mm la fiecare schimbare .



In cazul strungului NAKAMURA-TOME WT-300, cele doua turele si cei doi arbori, avand axa Y integrata, duc la cresterea productivitatii, fiind posibila prelucrarea a unuia sau a doua reper simultan.

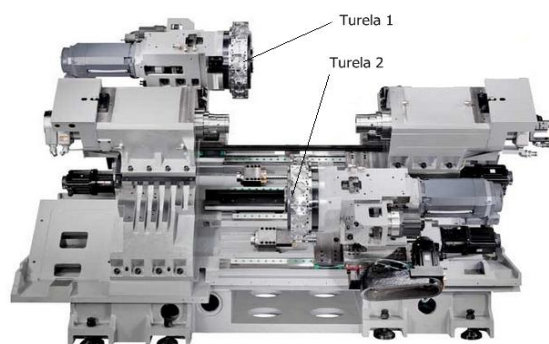


Fig.9 Sistemul cu doua turele

In modul acesta, prelucrarea la ambele capete ale reperului este posibila dintr-o singura prindere, minimizand manevrarile de catre operator si reducerea timpului de lucru.

#### 4.ELABORAREA PROGRAMULUI CNC PENTRU PIESA "DORN DE CONTROL"

Avand o forma complexa, piesa "Dorn de control" se poate prelucra din două prinderi.

Pentru realizarea programului CNC al piesei analizate a fost utilizat programul Heidenhain iTNC530.

##### 4.1 Prima prindere

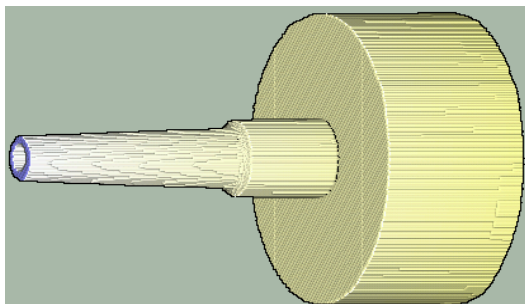


Figura 10. Piesa după prima prindere

```

0 BEGIN PGM Piesa MM
1 BLK FORM 0.1 Z X-57.6 Y-57.5
   Z-168.85
2 BLK FORM 0.2 X+57.5 Y+57.5 Z+0
3 TOOL CALL 16 Z S1000
4 L Z+200 R0 FMAX M3
5 CYCL DEF 257 CIRCULAR STUD
   Q223=+110 ;FINISHED PART DIA.
   Q222=+130 ;WORKPIECE BLANK DIA.
   Q368=+0 ;ALLOWANCE FOR SIDE
   Q207=+500 ;FEED RATE FOR MILLNG
   Q351=+1 ;CLIMB OR UP-CUT
   Q201=-170 ;DEPTH
   Q202=+5 ;PLUNGING DEPTH
   Q206=+3000 ;FEED RATE FOR PLNGNG
   Q200=+2 ;SET-UP CLEARANCE
   Q203=+0 ;SURFACE COORDINATE
   Q204=+50 ;2ND SET-UP CLEARANCE
   Q370=+1 ;TOOL PATH OVERLAP
6 CYCL CALL POS X+0 Y+0 Z+0 FMAX
7 TOOL CALL 25 Z S1000
8 CYCL DEF 257 CIRCULAR STUD
   Q223=+30 ;FINISHED PART DIA.
   Q222=+50 ;WORKPIECE BLANK DIA.
   Q368=+0 ;ALLOWANCE FOR SIDE
   Q207=+500 ;FEED RATE FOR MILLNG
   Q351=+1 ;CLIMB OR UP-CUT
   Q201=-116.6 ;DEPTH
   Q202=+5 ;PLUNGING DEPTH
   Q206=+3000 ;FEED RATE FOR PLNGNG
   Q200=+2 ;SET-UP CLEARANCE
   Q203=+0 ;SURFACE COORDINATE

```

```

9 CYCL CALL POS X+0 Y+0 Z+0 FMAX
10 CYCL DEF 290 INTERPOLATION TURNIN
    Q200=+2 ;SET-UP CLEARANCE
    Q445=+50 ;CLEARANCE HEIGHT
    Q336=+0 ;ANGLE OF SPINDLE
    Q440=+50 ;CUTTING SPEED
    Q441=+0.3 ;INFEED
    Q442=+0 ;STARTING ANGLE
    Q443=+1 ;MACHINING DIRECTION
    Q444=+6 ;INTERPOLATED AXIS
    Q491=+18 ;DIAMETER AT CONTOUR
    Q492=+0 ;CONTOUR START IN Z
    Q493=+30 ;CONTOUR END IN X
    Q494=-83 ;CONTOUR END IN Z
    Q495=+2 ;ANGLE OF CYLINDER SU
    Q496=+0 ;ANGLE OF FACE
    Q500=+3 ;RADIUS OF CONTOUR ED
11 CYCL CALL POS X+0 Y+0 Z+0 FMAX
12 TOOL CALL 5 Z S1000
13 CYCL DEF 200 DRILLING
    Q200=+2 ;SET-UP CLEARANCE
    Q201=-169 ;DEPTH
    Q206=+150 ;FEED RATE FOR PLNGNG
    Q202=+5 ;PLUNGING DEPTH
    Q210=+0 ;DWELL TIME AT TOP
    Q203=+0 ;SURFACE COORDINATE
    Q204=+50 ;2ND SET-UP CLEARANCE
    Q211=+0 ;DWELL TIME AT DEPTH
14 CYCL CALL POS X+0 Y+0 Z+0 FMAX
15 L Z+200 R0 FMAX M30
16 END PGM Piesa MM

```

##### 4.2 A doua prindere

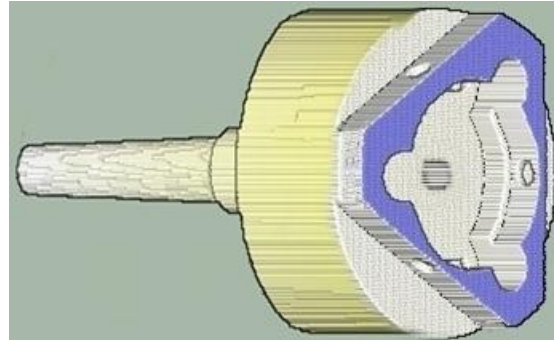


Figura 11. Piesa după a doua prindere

```

0 BEGIN PGM Piesa2 MM
1 BLK FORM 0.1 Z X-57.5 Y-57.5
   Z-168.85
2 BLK FORM 0.2 X+57.5 Y+57.5 Z+0
3 TOOL CALL 16 Z S1000
4 L Z+200 R0 FMAX M3
5 CYCL DEF 257 CIRCULAR STUD
   Q223=+110 ;FINISHED PART DIA.
   Q222=+130 ;WORKPIECE BLANK DIA.
   Q368=+0 ;ALLOWANCE FOR SIDE
   Q207=+500 ;FEED RATE FOR MILLNG
   Q351=+1 ;CLIMB OR UP-CUT
   Q201=-170 ;DEPTH
   Q202=+5 ;PLUNGING DEPTH
   Q206=+3000 ;FEED RATE FOR PLNGNG
   Q200=+2 ;SET-UP CLEARANCE
   Q203=+0 ;SURFACE COORDINATE

```

Q200=+2 ;SET-UP CLEARANCE  
 Q203=+0 ;SURFACE COORDINATE  
 Q204=+50 ;2ND SET-UP CLEARANCE  
 Q370=+1 ;TOOL PATH OVERLAP  
**6 CYCL CALL POS X+0 Y+0 Z+0 FMAX**  
 7 CYCL DEF 252 CIRCULAR POCKET  
 Q215=+0 ;MACHINING OPERATION  
 Q223=+56 ;CIRCLE DIAMETER  
 Q368=+0 ;ALLOWANCE FOR SIDE  
 Q207=+500 ;FEED RATE FOR MILLNG  
 Q351=+1 ;CLIMB OR UP-CUT  
 Q201=-24 ;DEPTH  
 Q202=+5 ;PLUNGING DEPTH  
 Q369=+0 ;ALLOWANCE FOR FLOOR  
 Q206=+150 ;FEED RATE FOR PLNGNG  
 Q338=+0 ;INFEED FOR FINISHING  
 Q200=+2 ;SET-UP CLEARANCE  
 Q203=+0 ;SURFACE COORDINATE  
 Q204=+50 ;2ND SET-UP CLEARANCE  
 Q370=+1 ;TOOL PATH OVERLAP  
 Q366=+1 ;PLUNGE  
 Q385=+500 ;FINISHING FEED RATE  
**8 CYCL CALL POS X+0 Y+0 Z+0 FMAX**  
**9 CYCL DEF 252 CIRCULAR POCKET**  
 Q215=+0 ;MACHINING OPERATION  
 Q223=+62 ;CIRCLE DIAMETER  
 Q368=+0 ;ALLOWANCE FOR SIDE  
 Q207=+500 ;FEED RATE FOR MILLNG  
 Q351=+1 ;CLIMB OR UP-CUT  
 Q201=-14 ;DEPTH  
 Q202=+5 ;PLUNGING DEPTH  
 Q369=+0 ;ALLOWANCE FOR FLOOR  
 Q206=+150 ;FEED RATE FOR PLNGNG  
 Q338=+0 ;INFEED FOR FINISHING  
 Q200=+2 ;SET-UP CLEARANCE  
 Q203=+0 ;SURFACE COORDINATE  
 Q204=+50 ;2ND SET-UP CLEARANCE  
 Q370=+1 ;TOOL PATH OVERLAP  
 Q366=+1 ;PLUNGE  
 Q385=+500 ;FINISHING FEED RATE  
**10 CYCL CALL POS X+0 Y+0 Z+0 FMAX**  
**11 TOOL CALL 8 Z S1000**  
**12 L X+0 Y+0 Z+5 R0 FMAX**  
**13 L Z-24 R0 F400**  
**14 L Y-35**  
**15 L Z+5 R0 FMAX**  
**16 L X+0 Y+0 R0 FMAX**  
**17 L Z-24**  
**18 L X+30.31 Y+17.5**  
**19 L Z+5 R0 FMAX**  
**20 L X+0 Y+0 R0 FMAX**  
**21 L Z-24**  
**22 L X-31.31 Y+17.5**  
**23 L Z+15 R0 FMAX**  
**24 TOOL CALL 3 Z S1000**  
**25 CYCL DEF 200 DRILLING**  
 Q200=+2 ;SET-UP CLEARANCE  
 Q201=-54 ;DEPTH  
 Q206=+150 ;FEED RATE FOR PLNGNG  
 Q202=+5 ;PLUNGING DEPTH  
 Q210=+0 ;DWELL TIME AT TOP  
 Q203=+0 ;SURFACE COORDINATE  
 Q204=+50 ;2ND SET-UP CLEARANCE  
 Q211=+0 ;DWELL TIME AT DEPTH  
**26 CYCL CALL POS X+0 Y-35 Z-24 FMAX**  
**27 CYCL DEF 200 DRILLING**  
 Q200=+2 ;SET-UP CLEARANCE  
 Q201=-54 ;DEPTH  
 Q206=+150 ;FEED RATE FOR PLNGNG  
 Q202=+5 ;PLUNGING DEPTH  
 Q210=+0 ;DWELL TIME AT TOP  
 Q203=+0 ;SURFACE COORDINATE  
 Q204=+50 ;2ND SET-UP CLEARANCE  
 Q211=+0 ;DWELL TIME AT DEPTH  
**28 CYCL CALL POS X+30.31 Y+17.5 Z-24 FMAX**  
**29 CYCL DEF 200 DRILLING**  
 Q200=+2 ;SET-UP CLEARANCE  
 Q201=-54 ;DEPTH  
 Q206=+150 ;FEED RATE FOR PLNGNG  
 Q202=+5 ;PLUNGING DEPTH  
 Q210=+0 ;DWELL TIME AT TOP  
 Q203=+0 ;SURFACE COORDINATE  
 Q204=+50 ;2ND SET-UP CLEARANCE  
 Q211=+0 ;DWELL TIME AT DEPTH  
**30 CYCL CALL POS X-30.31 Y+17.5 Z-24 FMAX**  
**31 TOOL CALL 10 Z S1000**  
**32 L Z+2 R0 FMAX**  
**33 L X+80 Y+49 R0 FMAX**  
**34 L Z-15**  
**35 L X-80 Y+49 R0 F500**  
**36 L X+0 Y-90**  
**37 L X+80 Y+49**  
**38 L Z+100 R0 FMAX**  
**39 TOOL CALL 4 Y S1000**  
**40 CYCL DEF 200 DRILLING**  
 Q200=+2 ;SET-UP CLEARANCE  
 Q201=-30 ;DEPTH  
 Q206=+150 ;FEED RATE FOR PLNGNG  
 Q202=+5 ;PLUNGING DEPTH  
 Q210=+0 ;DWELL TIME AT TOP  
 Q203=+0 ;SURFACE COORDINATE  
 Q204=+50 ;2ND SET-UP CLEARANCE  
 Q211=+0 ;DWELL TIME AT DEPTH  
**41 CYCL CALL POS X+0 Y+0 Z-7 FMAX**  
**42 CYCL DEF 200 DRILLING**  
 Q200=+2 ;SET-UP CLEARANCE  
 Q201=-20 ;DEPTH  
 Q206=+150 ;FEED RATE FOR PLNGNG  
 Q202=+5 ;PLUNGING DEPTH  
 Q210=+0 ;DWELL TIME AT TOP  
 Q203=+0 ;SURFACE COORDINATE  
 Q204=+50 ;2ND SET-UP CLEARANCE  
 Q211=+0 ;DWELL TIME AT DEPTH  
**43 CYCL CALL POS X+0 Y+0 Z-7 C+120 FMAX**  
**44 CYCL DEF 200 DRILLING**  
 Q200=+2 ;SET-UP CLEARANCE  
 Q201=-20 ;DEPTH  
 Q206=+150 ;FEED RATE FOR PLNGNG  
 Q202=+5 ;PLUNGING DEPTH  
 Q210=+0 ;DWELL TIME AT TOP  
 Q203=+0 ;SURFACE COORDINATE  
 Q204=+50 ;2ND SET-UP CLEARANCE  
 Q211=+0 ;DWELL TIME AT DEPTH  
**45 CYCL CALL POS X+0 Y+0 Z-7 C-120 FMAX**  
**46 L Y+200 R0 FMAX M30**  
**47 END PGM Piesa2 MM**

## 5 Alegerea sistemelor de scule

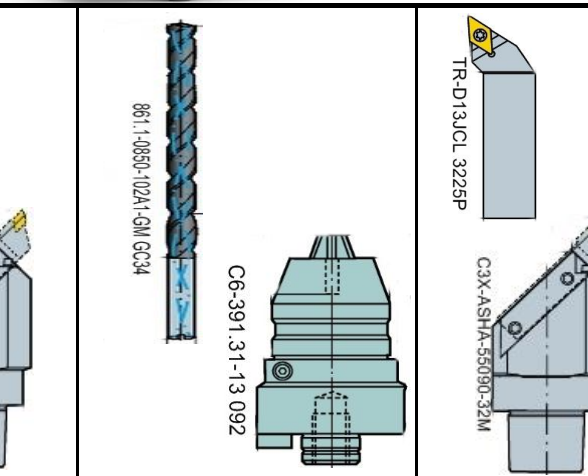
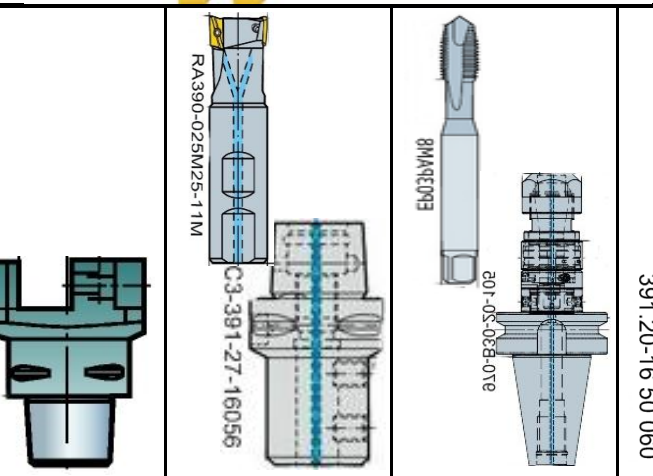
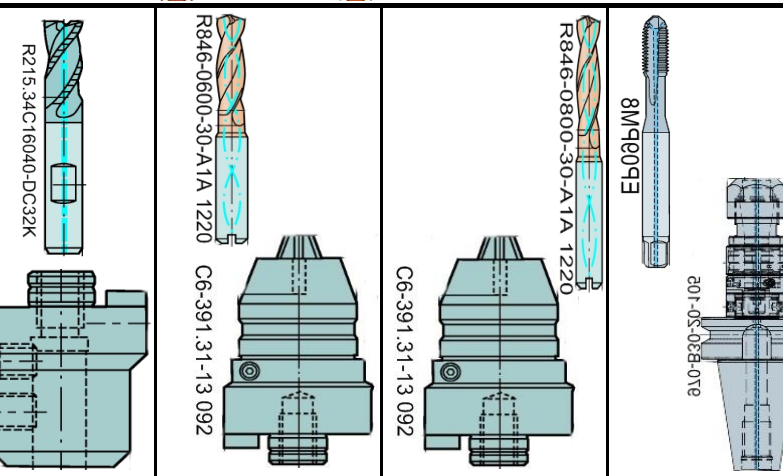
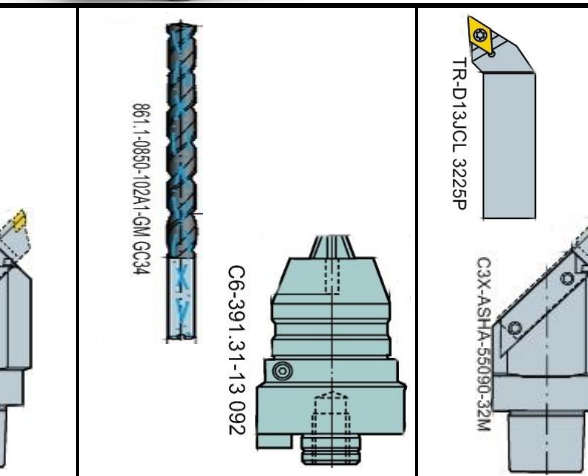
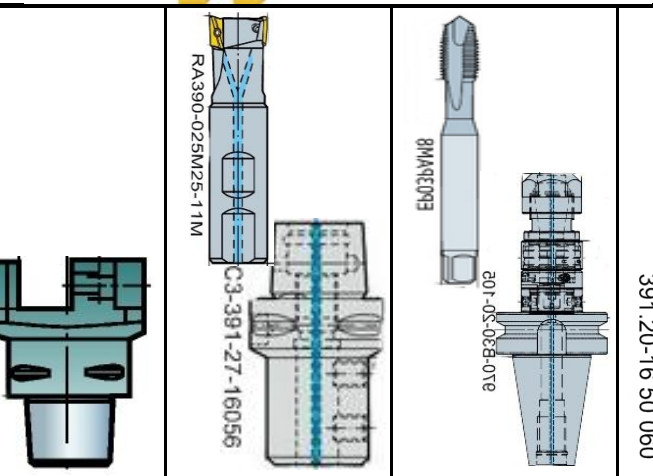
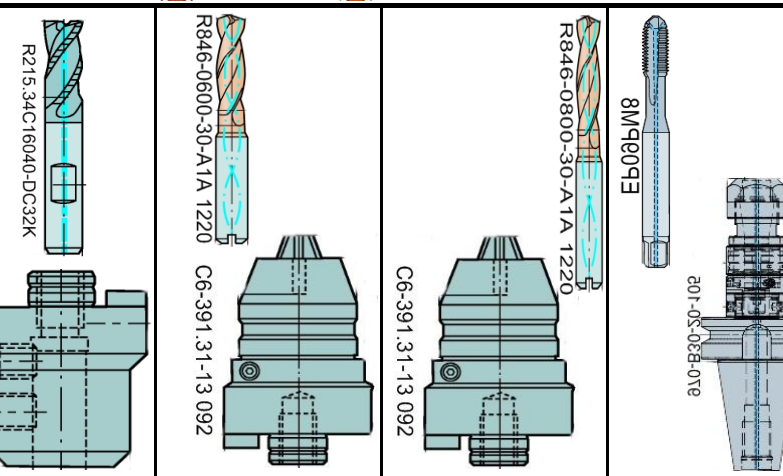
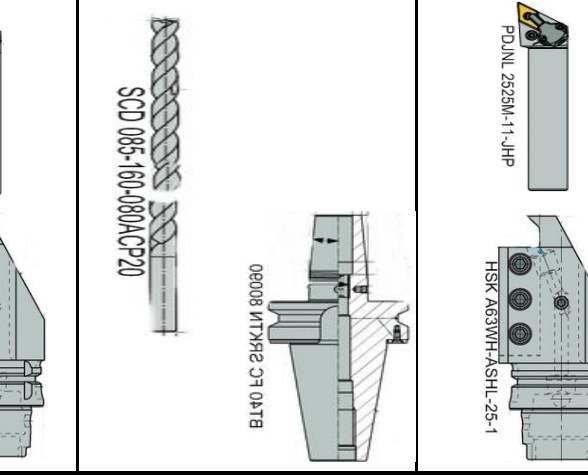
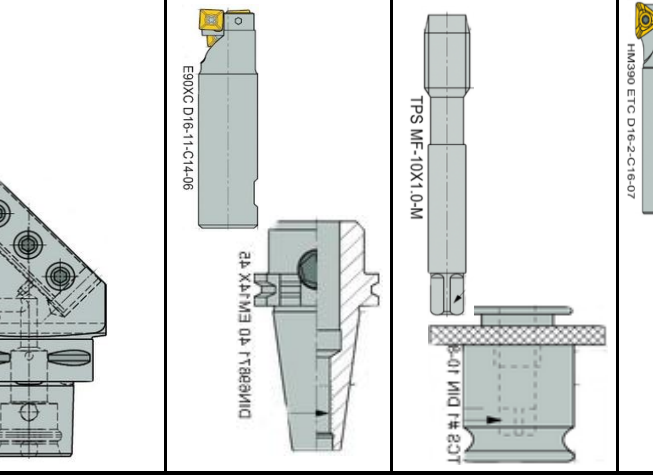
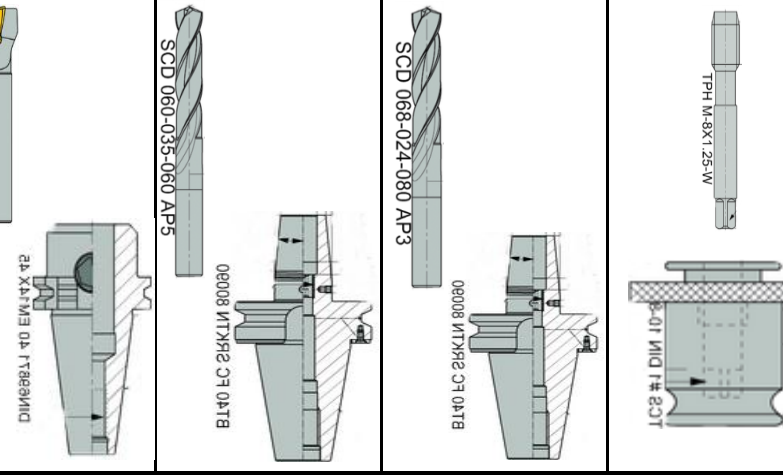
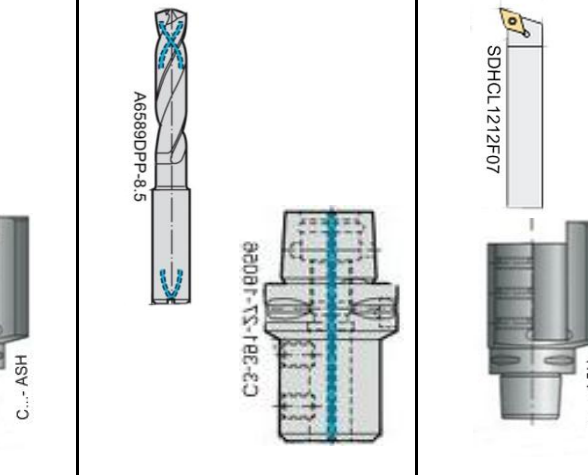
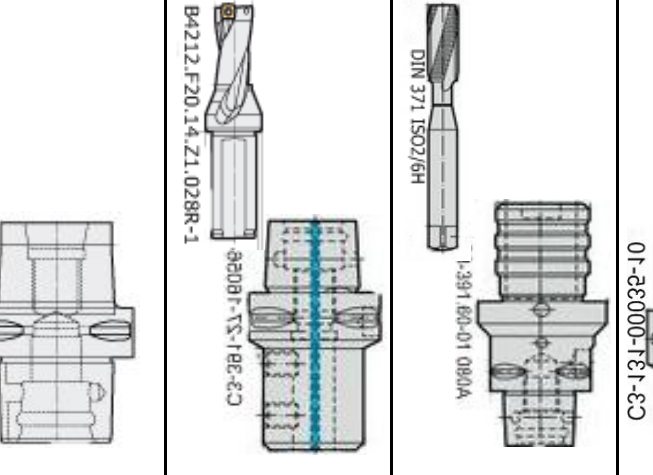
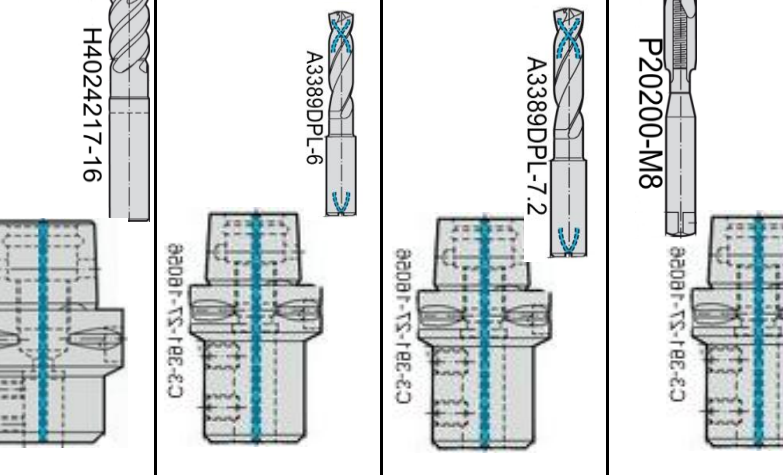
<b>MASINA UNEALTA</b>			
<b>SCULE</b> →			
<b>SANDVIK Coromant</b>			
<b>PORTSCULE</b> →			
<b>SCULE</b> →			

Figura 12. Sisteme de scule

## 6. INTOCMIREA SCHITELOR OPERATIILOR

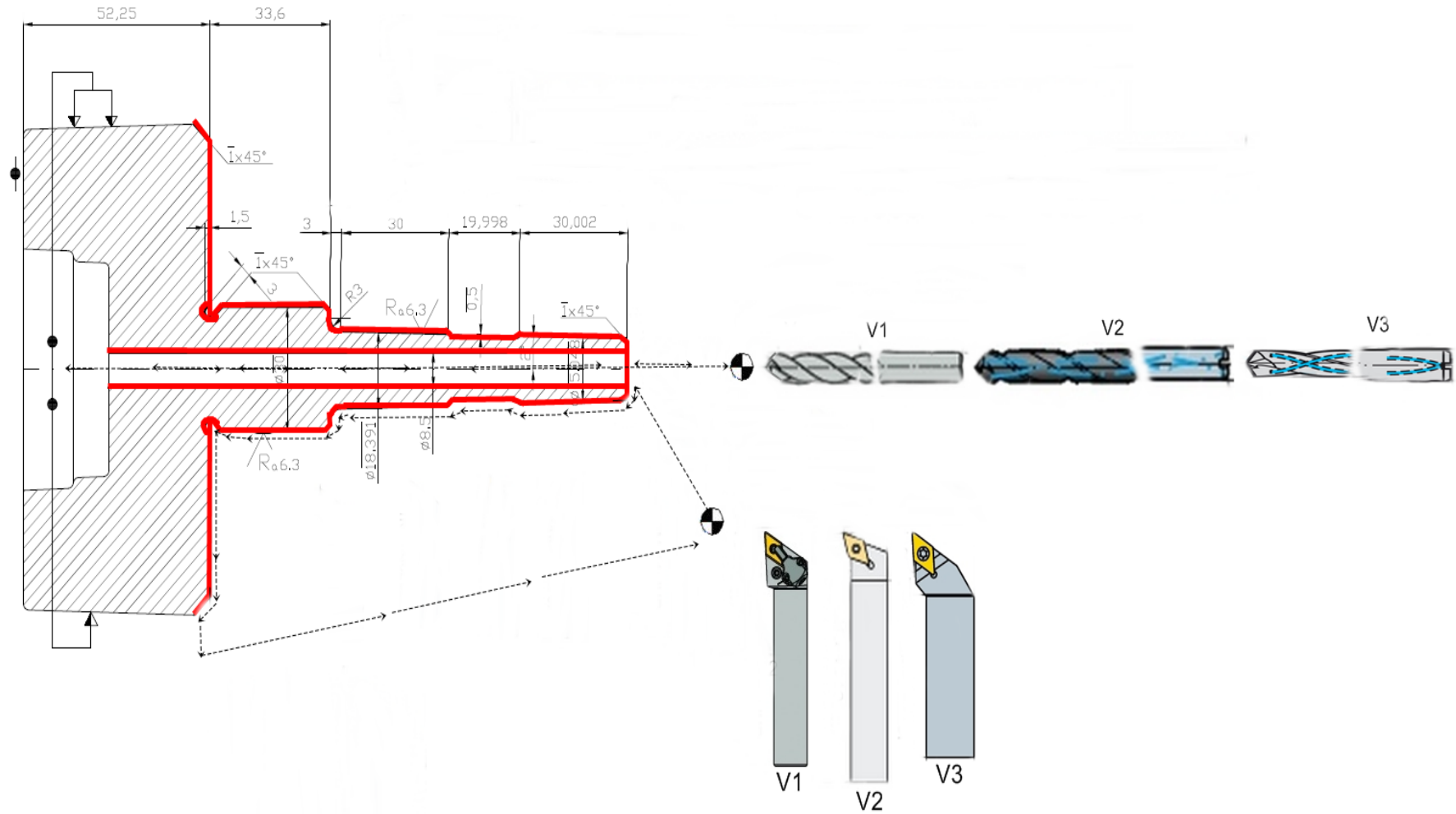


Fig. 13 Strunjire, gaurire

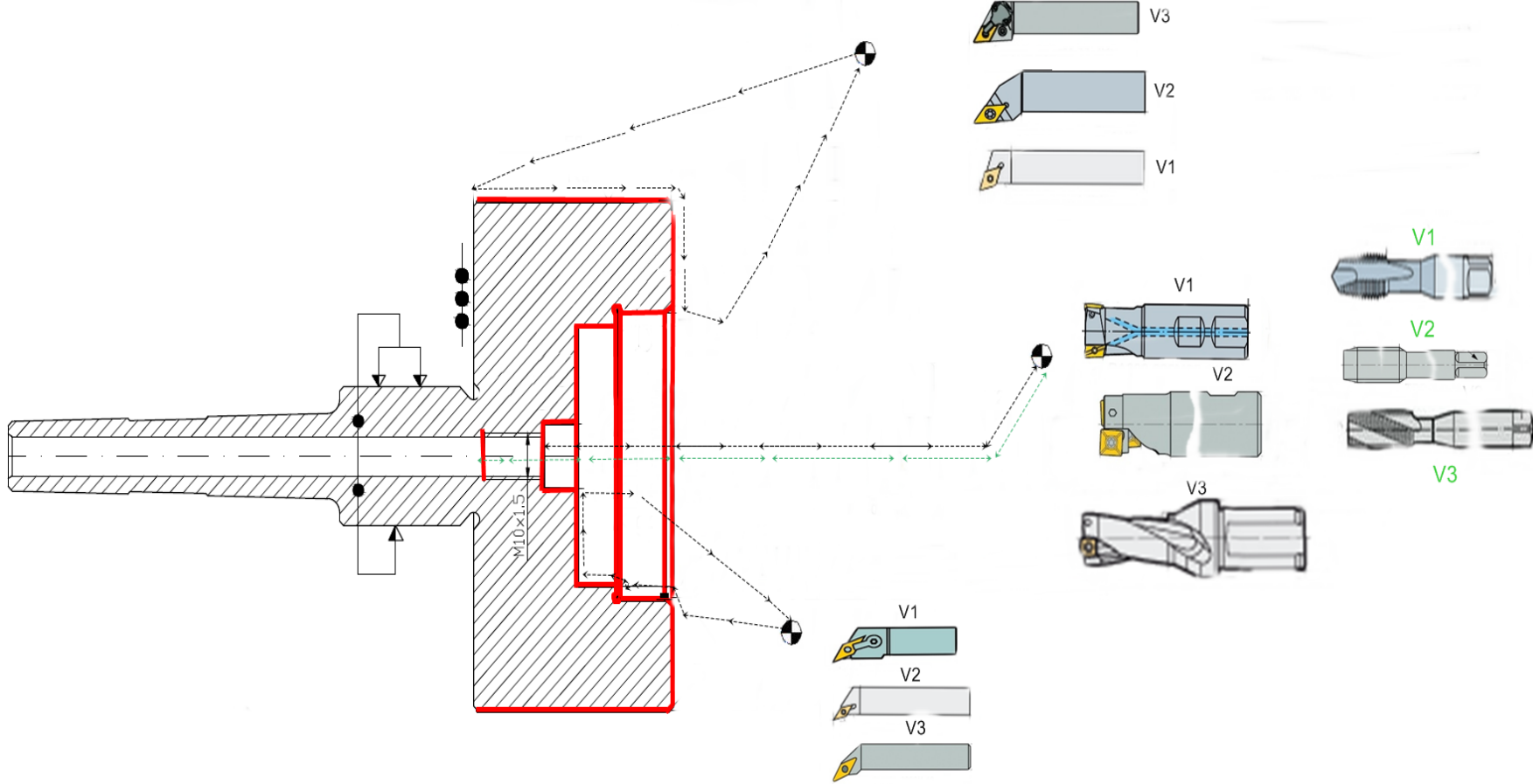


Fig. 14 Strunjire, alezare, filetare

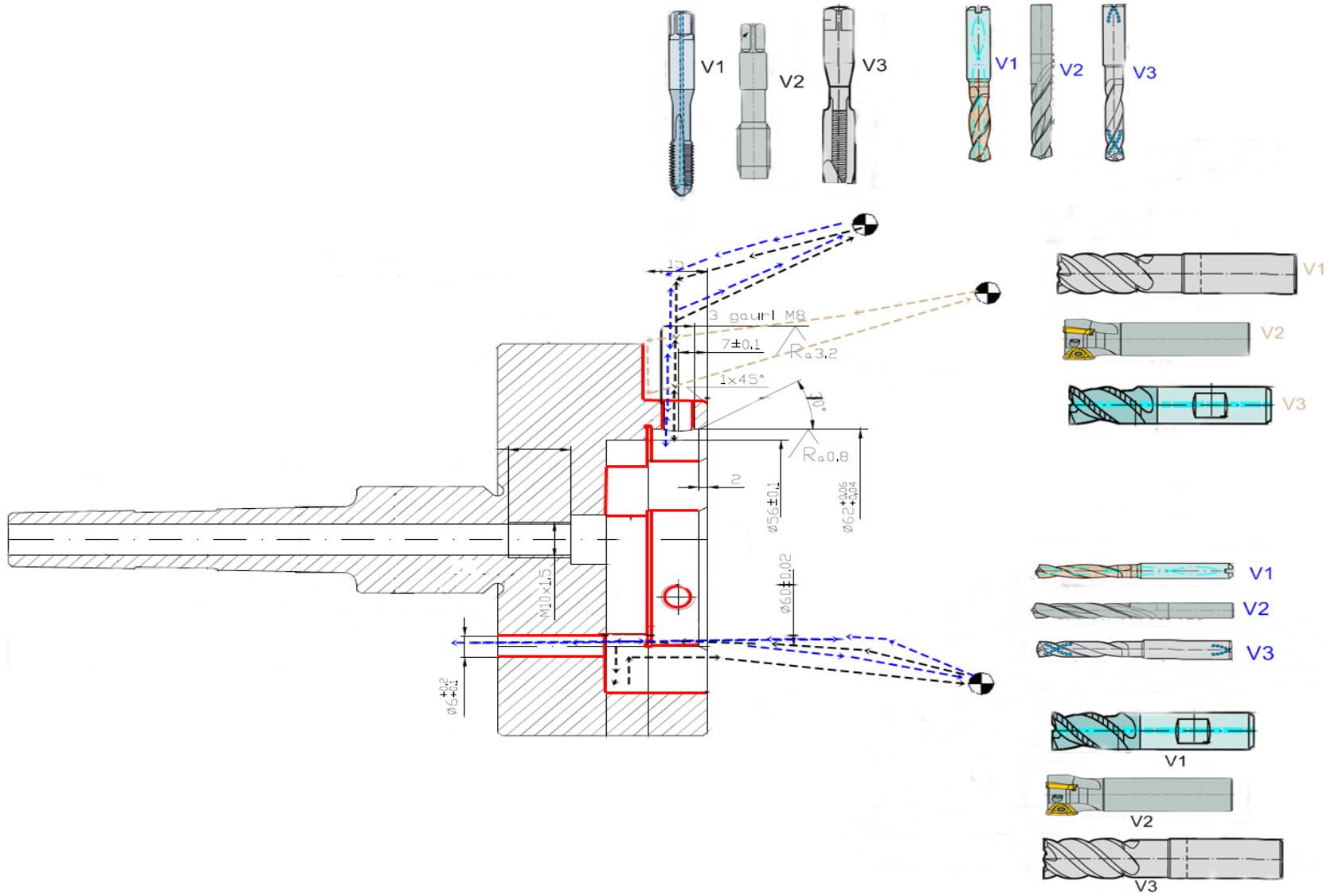


Fig. 15 Frezare, gaurire, filetare

## 7. CELULA FLEXIBILA DE FABRICATIE

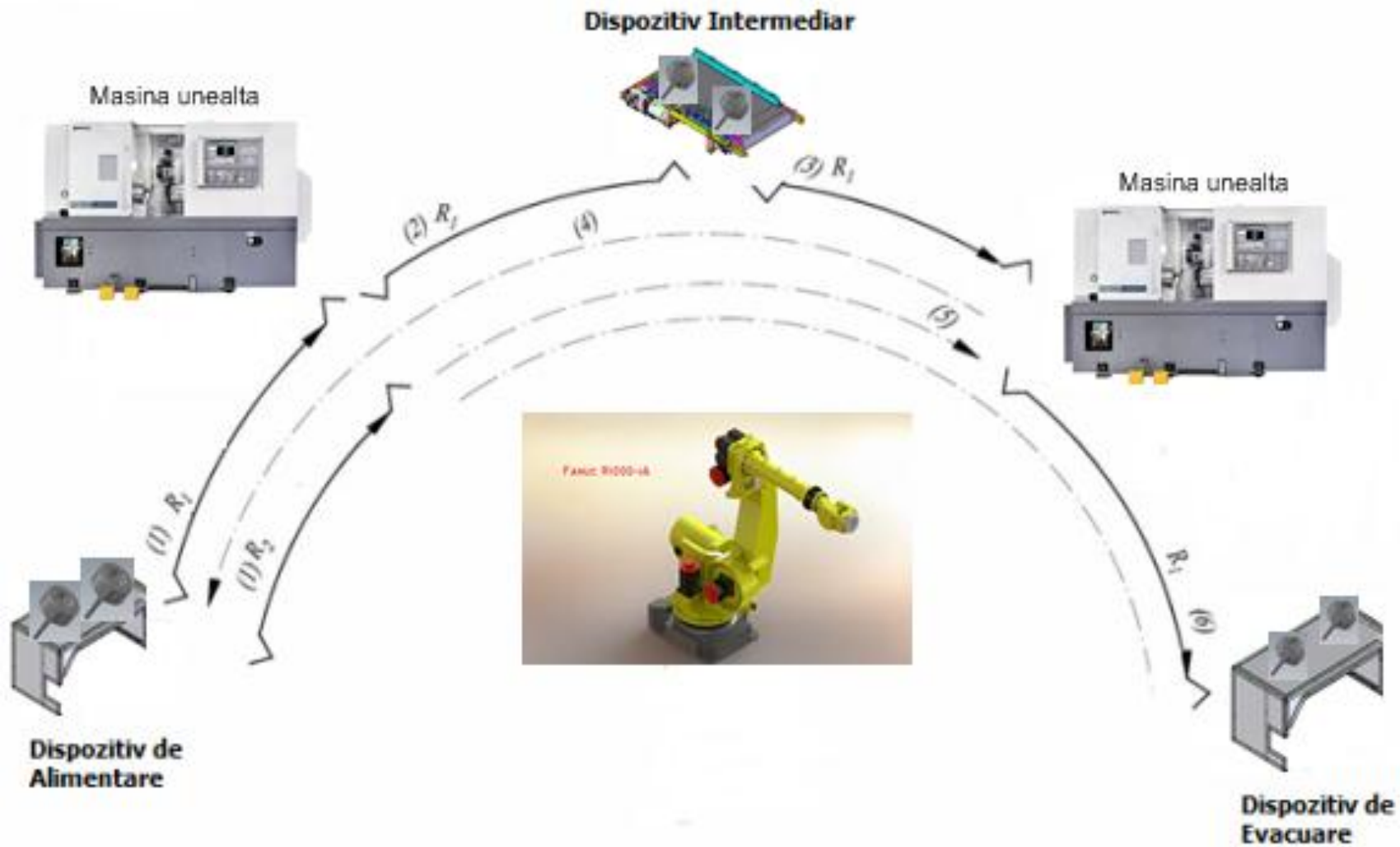


Fig. 16 Celula flexibila de fabricatie a reperului "Dorn de control"

7.1 Sistemul compliant si dispozitivul de apucare si fixare

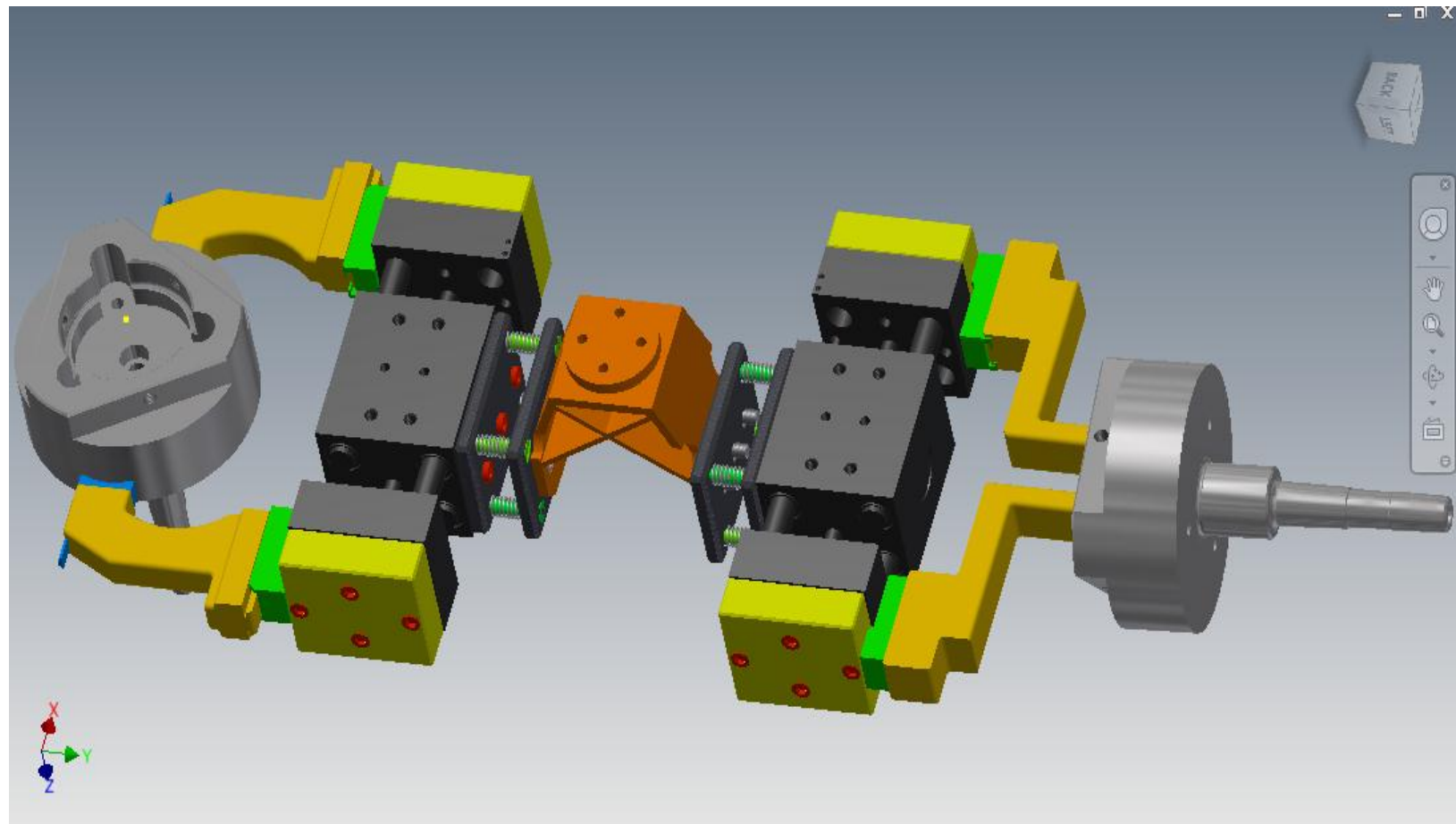


Fig. 17 Sistemul compliant, dispozitiv de apucare si fixare

## 7.2 Integrarea dispozitivului de apucare si fixare pe robot

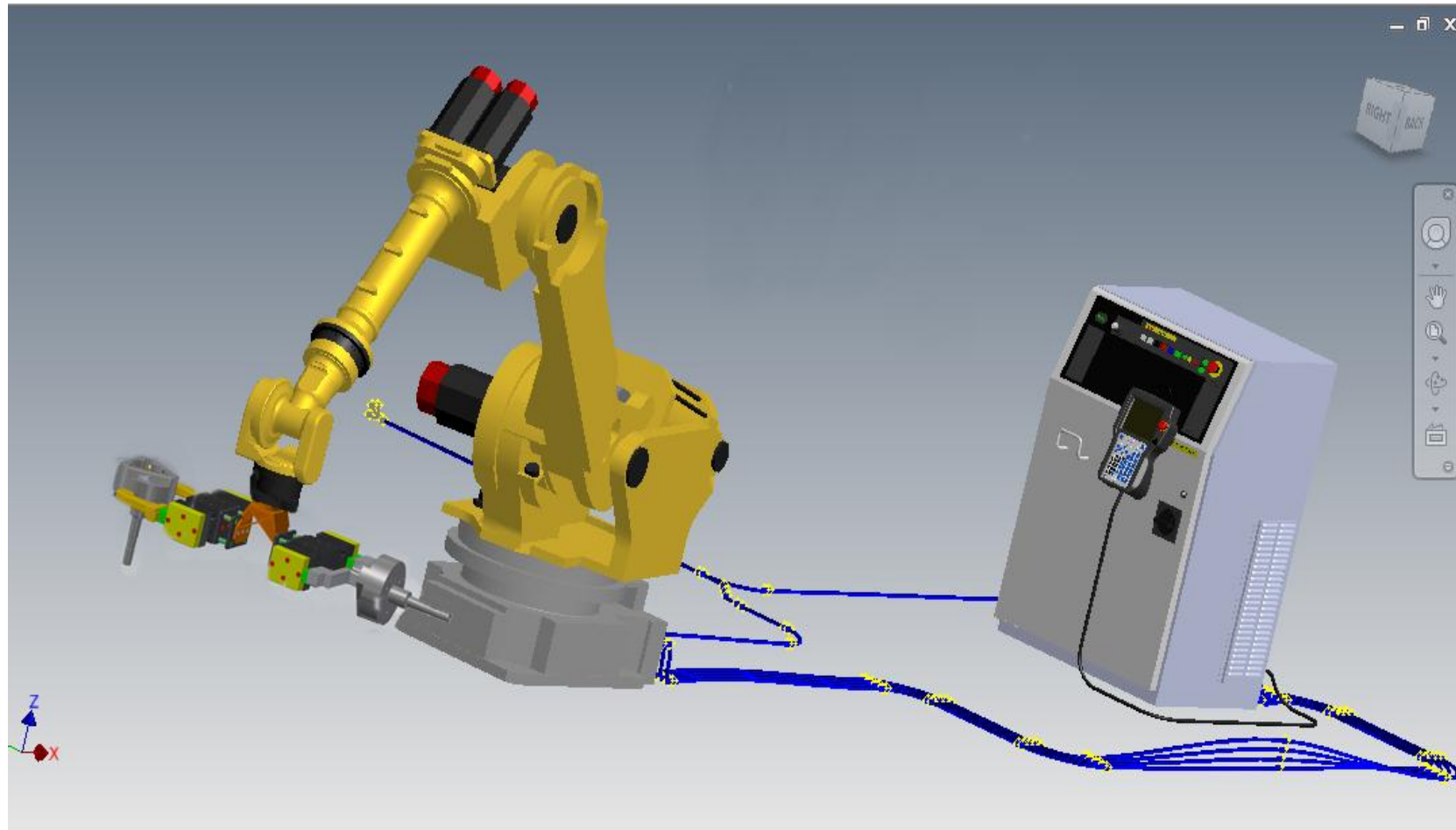


Fig. 18 Integrarea dispozitivului de apucare si fixare pe robot

## 8. Aspecte tehnico-economice

### 8.1. Costuri de achizitie

Pentru strungul Haas ST-10, costul de achizitie este de 50.000\$. Pentru strungul Okuma Genos L300-M, strung avand si axa Y, costul de achizitie este 110.000\$. In final, strungul NAKAMURA-TOME WT-300, un centru avand in dotare doua turele si doi arbori principali, costul de achizitie este de

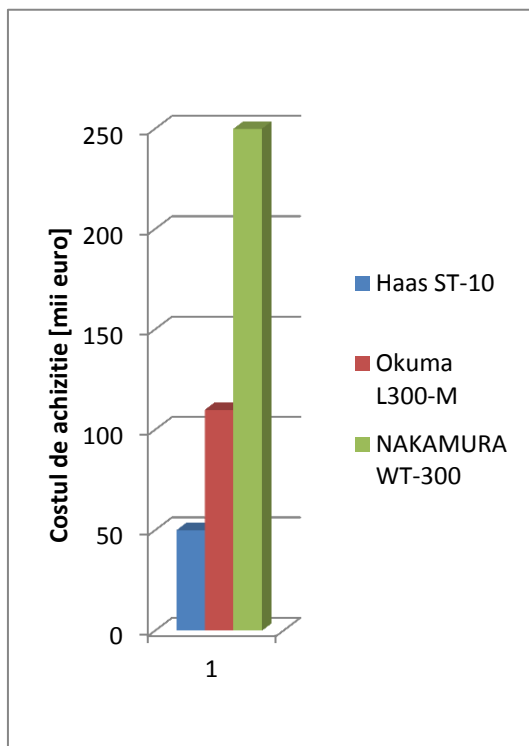


Fig.19 Costuri de achizitie

### 8.2. Analiza productivitatii

Incepand de la strungul Haas ST-10, un strung fara axa Y, apoi strungul Okuma L300-M avand axa Y, pana la centrul cu doua turele si doi arbori NAKAMURA-TOME WT-300, productivitatea creste considerabil in ordinea spusa mai sus.

Rezultatele obtinute reiese graficul din figura 20.

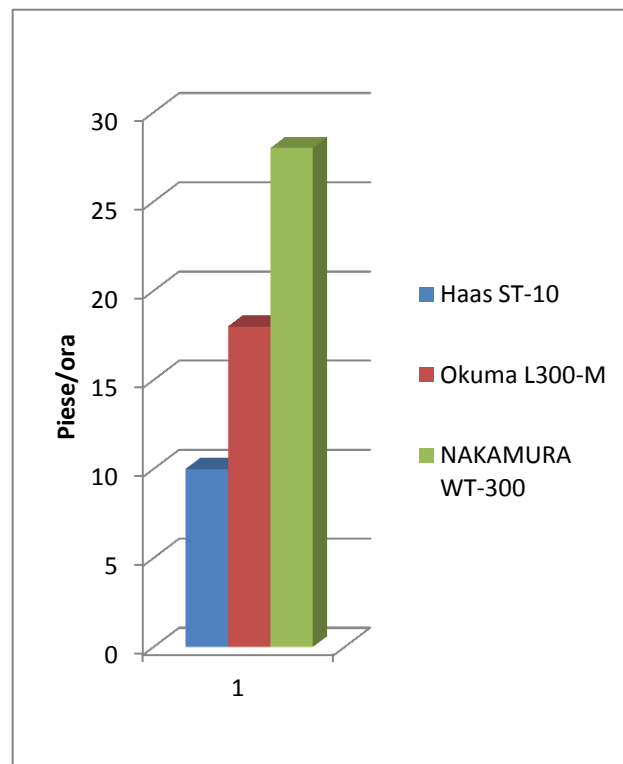


Fig. 20 Productivitate

### 8.3. Analiza costului piesei

Costul pentru fiecare piesa in parte, creste odata cu complexitatea strungului/centrului pe care are loc prelucrarea, dispozitivelor, sistemelor de scule etc. .

Tinand cont de cele de mai sus, reiese graficul din figura 21 :

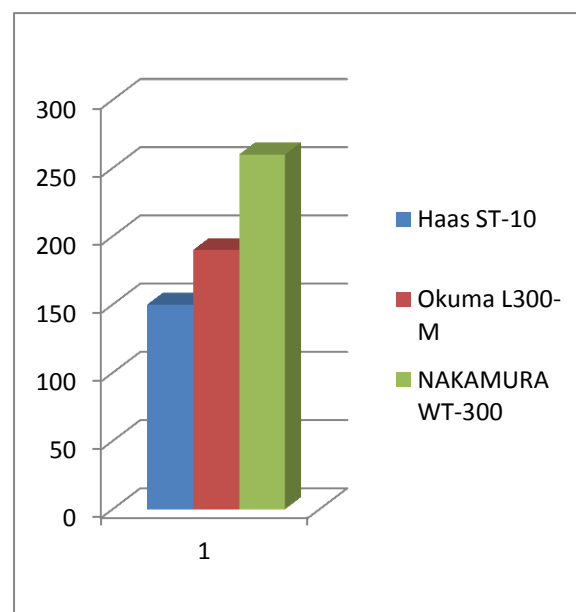


Fig. 21 Costul per piesa

## **9. AVANTAJE, DEZAVANTAJE SI CONCLUZII**

Avand in vedere procesul tehnologic, caracteristicile strungurilor pe care are loc prelucrarea si a graficelor figurate mai sus, putem enumera o serie de avantaje si dezavantaje ale masinilor studiate:

### Haas ST-10

\*Avantaje - cost de achizitie scazut;  
- pretul per piesa scazut;

\*Dezavantaje - timp de prelucrare ridicat;

### Okuma L300-M

\*Avantaje - timp de prelucrare mediu;  
- pretul per piesa mediu;

\*Dezavantaje - cost achizite ridicat;

### Nakamura Tome WT-300

\*Avantaje - timp de prelucrare scazut;

\*Dezavantaje - cost de achizitie ridicat;  
- pretul per piesa

Concluzie. Tinand cont de avantajele si dezavantajele mai sus mentionate, putem spune ca pentru fabricarea piesei "Dorn de control", cea mai rentabila masina unealta este strungul orizontal *Okuma L300-M*.

## **10. BIBLIOGRAFIE**

- [1].<https://www.sandvik.coromant.com>
- [2].<http://www.iscar.com/eCatalog>
- [3].<http://www.walter-tools.com>
- [4].<http://www.nakamura-tome.co.jp/products>
- [5].<https://www.haascnc.com>
- [6].<http://www.okuma.com/genos-l300-turning-center>